

IN2070 - Filtrering i billedomenet

2. mars 2022

- Høypassfiltrering: Bildeforbedring og kantdeteksjon
- Førstederivert; gradient-operatorer
- Andrederivert; Laplace-operatoren og LoG-operatoren
- Canny's kantdetektor

- Slipper gjennom høye frekvenser og demper/fjerner lave frekvenser
- Effekt:
 - Demper langsomme variasjoner
 - Fremhever skarpe kanter, linjer og detaljer
- **Typiske mål:** Forbedre skarpheten, detektere kanter
- Utfordring: Kan risikere å fremheve støy!

Høypassfiltrering med konvolusjon

- Summen av vektene i konvolusjonsfilteret er typisk 0
- Får positive og negative pikselverdier i utbildet
- Kan være uheldig å alltid bruke resultatet etter konvolusjonen med et høypassfilter, $g(x, y)$, sin absoluttverdi, $|g(x, y)|$
- For framvisning: Gjør $g(x, y)$ positiv med å addere med en konstant og skalér resultatet til et ønsket intervall
- Antar her nullutvidelse og bruker alle posisjoner med overlapp!

Høypassfiltrering ved konvolusjon (kursorisk)

Når summen av vektene i konvolusjonsfiltret er 0, blir også summen av utbildets piksler lik 0

$$\begin{aligned} \sum_{x=-a}^{M-1+a} \sum_{y=-b}^{N-1+b} (f * h)(x, y) &= \sum_{s=-a}^a \sum_{t=-b}^b \sum_{x=-a}^{M-1+a} \sum_{y=-b}^{N-1+b} h(s, t) f(x - s, y - t) \\ &\stackrel{\text{antar nullutvidelse!}}{=} \sum_{s=-a}^a \sum_{t=-b}^b \sum_{x=s}^{M-1+s} \sum_{y=t}^{N-1+t} h(s, t) f(x - s, y - t) \\ &= \sum_{s=-a}^a \sum_{t=-b}^b \sum_{m=0}^{M-1} \sum_{n=0}^{N-1} h(s, t) f(m, n) \\ &= \sum_{m=0}^{M-1} \sum_{n=0}^{N-1} f(m, n) \left(\sum_{s=-a}^a \sum_{t=-b}^b h(s, t) \right) \\ &= 0 \end{aligned}$$

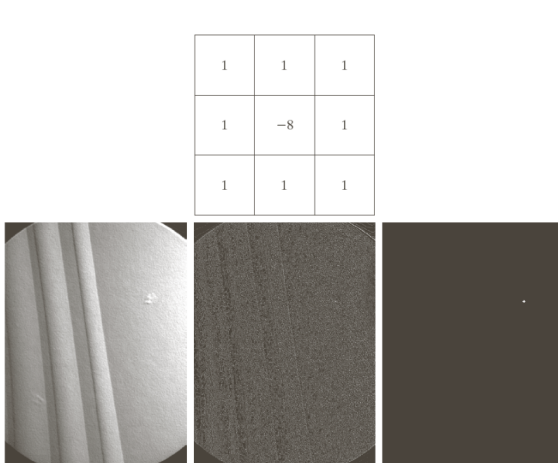
- Eksempel på høypassfilter:

$$\begin{pmatrix} -1 & -1 & -1 \\ -1 & 8 & -1 \\ -1 & -1 & -1 \end{pmatrix}$$

- Dette filteret kan bl.a. brukes til deteksjon av isolerte punkter:
 - Isolerte punkter vil skille seg ut med høy respons (i absoluttverdi)
 - For passende terskel T finner vi de detekterte punktene der $|g(x, y)| \geq T$

Eksempel: Punkt-deteksjon 1

Deteksjon av pore i turbinblad:



a
b c d

FIGURE 10.4

(a) Point detection (Laplacian) mask. (b) X-ray image of turbine blade with a porosity. The porosity contains a single black pixel. (c) Result of convolving the mask with the image. (d) Result of using Eq. (10.2-8) showing a single point (the point was enlarged to make it easier to see). (Original image courtesy of X-TEK Systems, Ltd.)

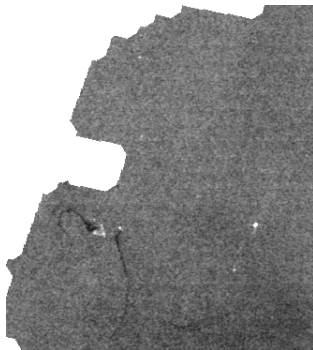
Eksempel: Punkt-deteksjon 2

Deteksjon av skip i radar-bilde over sjø:

- De små lyse punktene er skipene
- Filteret

$$\begin{pmatrix} -1 & -1 & -1 \\ -1 & 8 & -1 \\ -1 & -1 & -1 \end{pmatrix}$$

vil gi flere høye responser for hver skip
(nesten like høy respons i kanter og spesielt hjørner)



- Konvolusjonsfilteret kan også brukes til bildeforbedring:

$$\begin{pmatrix} -1 & -1 & -1 \\ -1 & 8 & -1 \\ -1 & -1 & -1 \end{pmatrix}$$

- Tanke bak bildeforbedringen:
 - Filtringen detekterer starten og slutten av kanter
 - Andre områder blir omtrent lik 0
 - Ved å *addere* filtringen til originalen får vi sterkere kanter og bildet virker skarpere

Eksempel: Bildeforbedring ved høypassfiltrering

Øke skarpheten i et bilde:



Eksempel: Bildeforbedring ved høypassfiltrering

Mulig løsning:

1. Filtrer bildet med:

$$\begin{pmatrix} -1 & -1 & -1 \\ -1 & 8 & -1 \\ -1 & -1 & -1 \end{pmatrix}$$

Øke skarpheten i et bilde:



Eksempel: Bildeforbedring ved høypassfiltrering

Mulig løsning:

1. Filtrer bildet med:

$$\begin{pmatrix} -1 & -1 & -1 \\ -1 & 8 & -1 \\ -1 & -1 & -1 \end{pmatrix}$$

2. Summér filtrert bilde med innbilde:

Øke skarpheten i et bilde:



- Konvolusjonsfilteret vi har sett på kan uttrykkes slik:

$$\begin{pmatrix} -1 & -1 & -1 \\ -1 & 8 & -1 \\ -1 & -1 & -1 \end{pmatrix} = \begin{pmatrix} 0 & 0 & 0 \\ 0 & 9 & 0 \\ 0 & 0 & 0 \end{pmatrix} - \begin{pmatrix} 1 & 1 & 1 \\ 1 & 1 & 1 \\ 1 & 1 & 1 \end{pmatrix} = 9 \left(\begin{pmatrix} 0 & 0 & 0 \\ 0 & 1 & 0 \\ 0 & 0 & 0 \end{pmatrix} - \frac{1}{9} \begin{pmatrix} 1 & 1 & 1 \\ 1 & 1 & 1 \\ 1 & 1 & 1 \end{pmatrix} \right)$$

Høypass = Identitet – Lavpass

- Konvolusjonsfilteret vi har sett på kan uttrykkes slik:

$$\begin{pmatrix} -1 & -1 & -1 \\ -1 & 8 & -1 \\ -1 & -1 & -1 \end{pmatrix} = \begin{pmatrix} 0 & 0 & 0 \\ 0 & 9 & 0 \\ 0 & 0 & 0 \end{pmatrix} - \begin{pmatrix} 1 & 1 & 1 \\ 1 & 1 & 1 \\ 1 & 1 & 1 \end{pmatrix} = 9 \left(\begin{pmatrix} 0 & 0 & 0 \\ 0 & 1 & 0 \\ 0 & 0 & 0 \end{pmatrix} - \frac{1}{9} \begin{pmatrix} 1 & 1 & 1 \\ 1 & 1 & 1 \\ 1 & 1 & 1 \end{pmatrix} \right)$$

$$\text{Høypass} = \text{Identitet} - \text{Lavpass}$$

Konvolusjon er distributiv: $f * (g + h) = f * g + f * h$

Bildeforbedring ved høypassfiltrering

- Konvolusjonsfilteret vi har sett på kan uttrykkes slik:

$$\begin{pmatrix} -1 & -1 & -1 \\ -1 & 8 & -1 \\ -1 & -1 & -1 \end{pmatrix} = \begin{pmatrix} 0 & 0 & 0 \\ 0 & 9 & 0 \\ 0 & 0 & 0 \end{pmatrix} - \begin{pmatrix} 1 & 1 & 1 \\ 1 & 1 & 1 \\ 1 & 1 & 1 \end{pmatrix} = 9 \left(\begin{pmatrix} 0 & 0 & 0 \\ 0 & 1 & 0 \\ 0 & 0 & 0 \end{pmatrix} - \frac{1}{9} \begin{pmatrix} 1 & 1 & 1 \\ 1 & 1 & 1 \\ 1 & 1 & 1 \end{pmatrix} \right)$$

$$\text{Høypass} = \text{Identitet} - \text{Lavpass}$$

Konvolusjon er distributiv: $f * (g + h) = f * g + f * h$

- Bildeforbedringen vi har sett på tilsvarer tre steg:

Bildeforbedring ved høypassfiltrering

- Konvolusjonsfilteret vi har sett på kan uttrykkes slik:

$$\begin{pmatrix} -1 & -1 & -1 \\ -1 & 8 & -1 \\ -1 & -1 & -1 \end{pmatrix} = \begin{pmatrix} 0 & 0 & 0 \\ 0 & 9 & 0 \\ 0 & 0 & 0 \end{pmatrix} - \begin{pmatrix} 1 & 1 & 1 \\ 1 & 1 & 1 \\ 1 & 1 & 1 \end{pmatrix} = 9 \left(\begin{pmatrix} 0 & 0 & 0 \\ 0 & 1 & 0 \\ 0 & 0 & 0 \end{pmatrix} - \frac{1}{9} \begin{pmatrix} 1 & 1 & 1 \\ 1 & 1 & 1 \\ 1 & 1 & 1 \end{pmatrix} \right)$$

$$\text{Høypass} = \text{Identitet} - \text{Lavpass}$$

Konvolusjon er distributiv: $f * (g + h) = f * g + f * h$

- Bildeforbedringen vi har sett på tilsvarer tre steg:
 1. Lavpassfiltrér med 3×3 middelverdifilter
 2. Subtrahér resultatet fra original bildet
 3. Skalér opp med 9

Bildeforbedring ved høypassfiltrering

- Konvolusjonsfilteret vi har sett på kan uttrykkes slik:

$$\begin{pmatrix} -1 & -1 & -1 \\ -1 & 8 & -1 \\ -1 & -1 & -1 \end{pmatrix} = \begin{pmatrix} 0 & 0 & 0 \\ 0 & 9 & 0 \\ 0 & 0 & 0 \end{pmatrix} - \begin{pmatrix} 1 & 1 & 1 \\ 1 & 1 & 1 \\ 1 & 1 & 1 \end{pmatrix} = 9 \left(\begin{pmatrix} 0 & 0 & 0 \\ 0 & 1 & 0 \\ 0 & 0 & 0 \end{pmatrix} - \frac{1}{9} \begin{pmatrix} 1 & 1 & 1 \\ 1 & 1 & 1 \\ 1 & 1 & 1 \end{pmatrix} \right)$$

$$\text{Høypass} = \text{Identitet} - \text{Lavpass}$$

Konvolusjon er distributiv: $f * (g + h) = f * g + f * h$

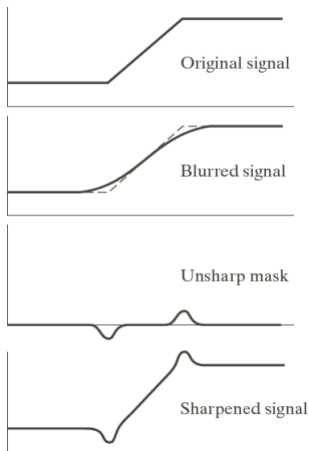
- Bildeforbedringen vi har sett på tilsvarer tre steg:
 1. Lavpassfiltrér med 3×3 middelverdifilter
 2. Subtrahér resultatet fra original bildet
 3. Skalér opp med 9
- Dette er en form for "highboost"-filtrering

Konvolusjon er assosiativ ved skalar multiplikasjon:

$$a(f * g) = f * (ag)$$

"Unsharp masking" og "highboost"-filtrering

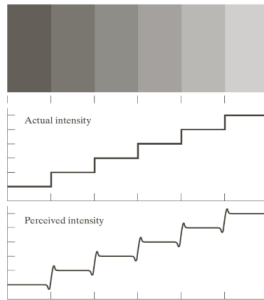
Gitt et bilde (original):



1. Lavpassfiltrér
2. Beregn differansen: original - lavpassfiltrert
3. Resultatet er: original + k ·differansen
 - **Unsharp masking:** $k = 1$
 - **Highboost:** $k > 1$

Nevrale prosessorer i netthinna

- Forsterker kanter
- Stimulering av én del undertrykker stimulering av en annen del
- Øker kontrasten ved overgang mellom uniforme regioner
- Kalles for *Mach-bånd*



Eksempel: Unsharp-masking

1. Lavpassfiltrering \rightarrow uskrapet bilde
2. Subtrahér uskrapet bilde fra originalen, $\text{original} - \text{lavpass} = \text{høypass}$
3. Adder differansen til originalen for å fremheve kanter



- Meste av informasjonen i et bilde finnes ved kantene til objektene/regionene i bildet
 - Kanter kan innbære bl.a. intensitets-kanter, farge-kanter og tekstur-kanter
- Biologiske synssystemer er basert på kant-deteksjon

Intensitets-flater, -kanter og -linjer

- **Homogen flate:** Et område der alle pikselverdiene er like
- **Kant:** Overgang mellom to områder med forskjellig pikselverdi
 - Steg-kant: Overgang over én pikselverdi
 - Rampe: Overgang over flere pikselverdier med konstant intensitetsendring

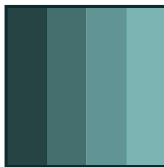
Homogen flate



Steg-kant



Rampe



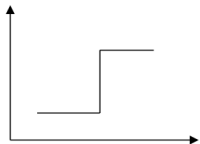
Intensitets-flater, -kanter og -linjer

- "Kant" brukes også om skillepunktet mellom de to områdene;
 - Forskjellige måter å modellere hvor skillet er
 - For steg-kanter:
 - Et alternativ er midt mellom nabopiksler som tilhører forskjellige områder
 - I segmentering ønsker man ofte å finne første pikslen på den siden som tilhører objekt
 - Merk at en linje består av to kanter:

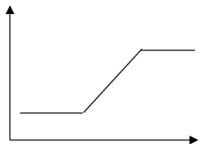


- Finner ofte i praksis strukturer som ligner steg-kant, rampe og linjer

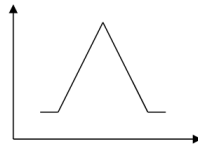
Kant-typer



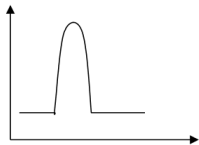
Steg-kant



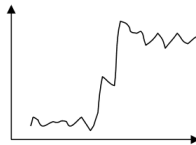
Rampe



Tak-kant



Linje
(litt glattet)



Steg-kant med støy

- En kant kjennetegnes ved endring i intensitetsverdi
- Den **deriverte** av en funksjon $f(x)$ er definert som:

$$f'(x) = \lim_{h \rightarrow 0} \frac{f(x+h) - f(x)}{h}$$

og angir hvor mye f endrer seg i punktet x

- Derivasjon er ikke definert i diskrete tilfeller, men vil kan approksimere den ved å la f.eks la $h \geq 1$ i definisjonen av derivert og bruke *differansen* mellom nærliggende piksler

- Et digitalt bilde er en to-variabel, diskret funksjon
- En kontinuerlig funksjon $f(x, y)$ kan deriveres mhp x og y
 - Kalles **partiell-derivasjon** mhp x og y
 - Betegnes henholdsvis $\frac{\partial f(x, y)}{\partial x}$ og $\frac{\partial f(x, y)}{\partial y}$
- **Gradient:** vektoren av de to partiell-deriverte,

$$\nabla f(x, y) = \begin{pmatrix} \frac{\partial f(x, y)}{\partial x} \\ \frac{\partial f(x, y)}{\partial y} \end{pmatrix}$$

Gradient i et kontinuerlig bilde

Gradienten peker i retningen der funksjonen forandrer seg mest

- Retningsderiverte til f i retning θ (langs r) er:

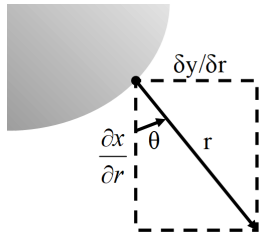
$$\begin{aligned}\frac{\partial f}{\partial r} &= \frac{\partial f}{\partial x} \frac{\partial x}{\partial r} + \frac{\partial f}{\partial y} \frac{\partial y}{\partial r} \\ &= \frac{\partial f}{\partial x} \cos \theta + \frac{\partial f}{\partial y} \sin \theta\end{aligned}$$

- Retningsderivert er størst når:

$$\frac{\partial}{\partial \theta} \left(\frac{\partial f}{\partial r} \right) = 0$$

- Vinkelen θ_g der retningsderivert er størst når

$$-\frac{\partial f}{\partial x} \sin \theta_g + \frac{\partial f}{\partial y} \cos \theta_g = 0 \Leftrightarrow \frac{\partial f}{\partial y} \cos \theta_g = \frac{\partial f}{\partial x} \sin \theta_g$$



Gradient i et kontinuerlig bilde

- (fort. forrige slide) retningsderivert er størst når vinkelen θ_g oppfyller:

$$\frac{\partial f}{\partial y} \cos \theta_g = \frac{\partial f}{\partial x} \sin \theta_g$$

$$\frac{\sin \theta_g}{\cos \theta_g} = \frac{\frac{\partial f}{\partial y}}{\frac{\partial f}{\partial x}}$$

$$\tan \theta_g = \frac{g_y}{g_x}$$

- **Retningen** gradienten peker i der funksjonen forandrer seg mest:

$$\theta_g = \tan^{-1} \left(\frac{g_y}{g_x} \right)$$

- ... og størrelsen på forandringen, **gradient-magnituden**, er:

$$\frac{\partial f}{\partial r_g} = \sqrt{g_x^2 + g_y^2}$$

Gradienten peker i retningen der funksjonen forandrer seg mest og kanten går vinkelrett på gradienten:

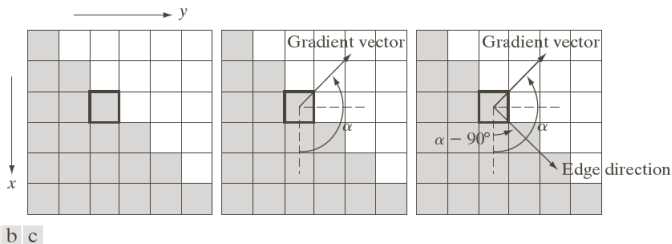


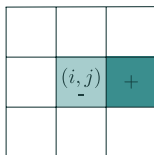
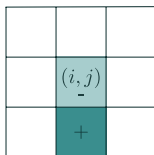
FIGURE 10.12 Using the gradient to determine edge strength and direction at a point. Note that the edge is perpendicular to the direction of the gradient vector at the point where the gradient is computed. Each square in the figure represents one pixel.

- Ønsker å tilnærme gradienten med differanser mellom nærliggende piksler
- Kan bruke to konvolusjonsfiltre som tilnærmer hver sin gradient-komponent:
 - To slike konvolusjonsfiltre kalles en **gradient-operator**
 - Konvolusjonsfiltrene betegnes ofte som h_x og h_y
 - h_x tilnærmer partiell-derivert i x -retning ved å beregne differansen i vertikal retning av nærliggende piksler (h_y beregner differensen i horisontal retning)
- Mange muligheter!

- Asymmetrisk 1D-operator:

$$g_x(i, j) = f(i + 1, j) - f(i, j)$$

$$g_y(x, y) = f(i, j + 1) - f(i, j)$$



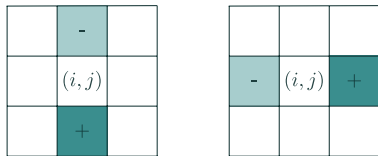
- Her vil gradient-komponentene bli positive for en kant med intensitet som øker nedover og fra venstre mot høyre i bildet
- Ulemper med denne operatoren:
 - Hver av gradient-estimatorene refererer til et punkt midt mellom to piksler
 - x - og y -estimatet refererer ikke til samme punkt i bildet

Digitale gradient-tilnærminger

- Symmetrisk 1D-operator:

$$g_x(i, j) = f(i + 1, j) - f(i - 1, j)$$

$$g_y(x, y) = f(i, j + 1) - f(i, j - 1)$$



- Gradient-estimatorene referer nå til pikselen på posisjon (i, j)
- Gjør dette på to, ortogonale retninger (vertikalt og horisontalt): Tilsvare å mildt glatte bildet i den ene retningen, for så finne gradient-tilnærmingen i den andre retningen:

$$\begin{pmatrix} 1 & 1 \end{pmatrix} * \begin{pmatrix} 1 & -1 \end{pmatrix} = \begin{pmatrix} 1 & 0 & -1 \end{pmatrix}$$

- Normalt sett uproblematisk, og kan være gunstig også

- Asymmetrisk 1D-operator ("pixel-difference"-operator):

$$h_x = \begin{pmatrix} 0 & 1 & 0 \\ 0 & -1 & 0 \\ 0 & 0 & 0 \end{pmatrix} \quad h_y = \begin{pmatrix} 0 & 0 & 0 \\ 1 & -1 & 0 \\ 0 & 0 & 0 \end{pmatrix}$$

- Symmetrisk 1D-operator ("separated pixel difference"-operator):

$$h_x = \begin{pmatrix} 0 & 1 & 0 \\ 0 & 0 & 0 \\ 0 & -1 & 0 \end{pmatrix} \quad h_y = \begin{pmatrix} 0 & 0 & 0 \\ 1 & 0 & -1 \\ 0 & 0 & 0 \end{pmatrix}$$

- Roberts-operatoren (Roberts kryssgradient-operator):

$$h_x = \begin{pmatrix} 1 & 0 & 0 \\ 0 & -1 & 0 \\ 0 & 0 & 0 \end{pmatrix} \quad h_y = \begin{pmatrix} 0 & 1 & 0 \\ -1 & 0 & 0 \\ 0 & 0 & 0 \end{pmatrix}$$

Filtrene kan avvike med 180 grader fra boka siden vi angir dem til bruk ved konvolusjon. Boka antar de skal brukes til korrelasjon.

- Ulempe ved 1D-operatorene: De er veldig følsomme for støy og støy kan lett bli detektert som kanter!
- En mulig måte å håndtere dette på: Beregn differansen for tre symmetriske par:

-	-	-
	(i, j)	
+	+	+

-		+
-	(i, j)	+
-		+

- Gradient-estimatorene blir mer robuste mot støy i bildet!

- Prewitt-operatoren:

$$h_x = \begin{pmatrix} 1 & 1 & 1 \\ 0 & 0 & 0 \\ -1 & -1 & -1 \end{pmatrix} \quad h_y = \begin{pmatrix} 1 & 0 & -1 \\ 1 & 0 & -1 \\ 1 & 0 & -1 \end{pmatrix}$$

- Sobel-operatoren:

$$h_x = \begin{pmatrix} 1 & 2 & 1 \\ 0 & 0 & 0 \\ -1 & -2 & -1 \end{pmatrix} \quad h_y = \begin{pmatrix} 1 & 0 & -1 \\ 2 & 0 & -2 \\ 1 & 0 & -1 \end{pmatrix}$$

- Frei-Chen-operatoren:

$$h_x = \begin{pmatrix} 1 & \sqrt{2} & 1 \\ 0 & 0 & 0 \\ -1 & -\sqrt{2} & -1 \end{pmatrix} \quad h_y = \begin{pmatrix} 1 & 0 & -1 \\ \sqrt{2} & 0 & -\sqrt{2} \\ 1 & 0 & -1 \end{pmatrix}$$

Filtrene kan avvike med 180 grader fra boka siden vi angir dem til bruk ved konvolusjon. Boka antar de skal brukes til korrelasjon.

Separasjon av gradient-operatorer

- Separasjon av Prewitt-operatoren:

$$h_x = \begin{pmatrix} 1 & 1 & 1 \\ 0 & 0 & 0 \\ -1 & -1 & -1 \end{pmatrix} = \begin{pmatrix} 1 \\ 0 \\ -1 \end{pmatrix} * (1 \ 1 \ 1) \quad h_y = \begin{pmatrix} 1 & 0 & -1 \\ 1 & 0 & -1 \\ 1 & 0 & -1 \end{pmatrix} = (1 \ 0 \ -1) * \begin{pmatrix} 1 \\ 1 \\ 1 \end{pmatrix}$$

- Separasjon av Sobel-operatoren:

$$h_x = \begin{pmatrix} 1 & 2 & 1 \\ 0 & 0 & 0 \\ -1 & -2 & -1 \end{pmatrix} = \begin{pmatrix} 1 \\ 0 \\ -1 \end{pmatrix} * (1 \ 2 \ 1) \quad h_y = \begin{pmatrix} 1 & 0 & -1 \\ 2 & 0 & -2 \\ 1 & 0 & -1 \end{pmatrix} = (1 \ 0 \ -1) * \begin{pmatrix} 1 \\ 2 \\ 1 \end{pmatrix}$$

- Separasjon av Frei-Chen-operatoren:

$$h_x = \begin{pmatrix} 1 & \sqrt{2} & 1 \\ 0 & 0 & 0 \\ -1 & -\sqrt{2} & -1 \end{pmatrix} = \begin{pmatrix} 1 \\ 0 \\ -1 \end{pmatrix} * (1 \ \sqrt{2} \ 1) \quad h_y = \begin{pmatrix} 1 & 0 & -1 \\ \sqrt{2} & 0 & -\sqrt{2} \\ 1 & 0 & -1 \end{pmatrix} = (1 \ 0 \ -1) * \begin{pmatrix} 1 \\ \sqrt{2} \\ 1 \end{pmatrix}$$

- Operatoren gjøres mindre følsom for støy ved å lavpassfiltrere i én retning og derivere i den andre retninger
- Prewitt: mer følsom for horisontale og vertikale kanter enn for diagonale kanter
- Sobel: motsatt av for Prewitt
- Frei-Chen: gir samme gradient-magnitudo hvis kanten ligger langs aksene eller diagonalt

- Horisontale kanter: $g_x = h_x * f$
- Vertikale kanter: $g_y = h_y * f$
- Gradient-magnitude og -retning:

$$M(i, j) = \sqrt{g_x^2(x, y) + g_y^2(x, y)}$$

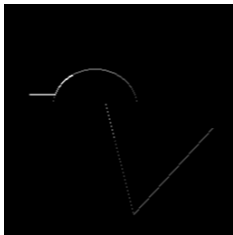
$$\theta(i, j) = \tan^{-1} \left(\frac{g_y(i, j)}{g_x(i, j)} \right)$$

Eksempel: Gradient-beregning med Sobel-operatoren

Innbilde f



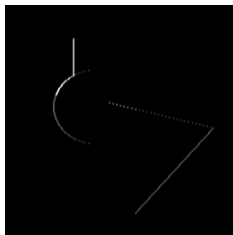
$g_x = f * h_x$



g_x^2



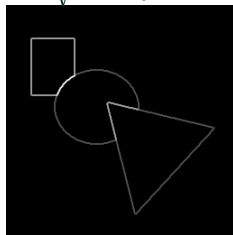
$g_y = f * h_y$



g_y^2



$\sqrt{g_x^2 + g_y^2}$



Større gradient-operatorer

- Gradient-operatorer kan gjøres mer støy-robuste ved å bygge inn mer lavpassfiltrering
- 5×5 Sobel-operator som eksempel:

$$h_x = \begin{pmatrix} 1 & 4 & 6 & 4 & 1 \\ 2 & 8 & 12 & 8 & 2 \\ 0 & 0 & 0 & 0 & 0 \\ -2 & -8 & -12 & -8 & -2 \\ -1 & -4 & -6 & -4 & -1 \end{pmatrix} \quad h_y = \begin{pmatrix} 1 & 2 & 0 & -2 & -1 \\ 4 & 8 & 0 & -8 & -4 \\ 6 & 12 & 0 & -12 & -6 \\ 4 & 8 & 0 & -8 & -4 \\ 1 & 2 & 0 & -2 & -1 \end{pmatrix}$$

... er resultatet av konvolusjonene

$$h_x = \begin{pmatrix} 1 & 2 & 1 \\ 0 & 0 & 0 \\ -1 & -2 & -1 \end{pmatrix} * \begin{pmatrix} 1 & 2 & 1 \\ 2 & 4 & 2 \\ 1 & 2 & 1 \end{pmatrix} \quad h_y = \begin{pmatrix} 1 & 0 & -1 \\ 2 & 0 & -2 \\ 1 & 0 & -1 \end{pmatrix} * \begin{pmatrix} 1 & 2 & 1 \\ 2 & 4 & 2 \\ 1 & 2 & 1 \end{pmatrix}$$

Implementasjoner av gradient-operatorer

- Lurt å utnytte separabilitet
- For 5×5 -Sobel operatoren på forrige foil:
 - Med 5×5 filtre kreves 50 multiplikasjoner
 - Ved bruk av de fire 3×3 -filtrene kreves 36 multiplikasjoner
 - Finnes mange måter å dele opp på, men raskeste er å separere 5×5 -filtrene direkte:

$$h_x = \begin{pmatrix} 1 & 4 & 6 & 4 & 1 \end{pmatrix} * \begin{pmatrix} 1 \\ 2 \\ 0 \\ -2 \\ -1 \end{pmatrix}, \quad h_y = \begin{pmatrix} 1 & 2 & 0 & -2 & -1 \end{pmatrix} * \begin{pmatrix} 1 \\ 4 \\ 6 \\ 4 \\ 1 \end{pmatrix}$$

Disse krever kun 20 multiplikasjoner!

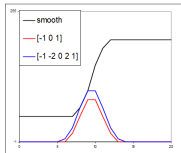
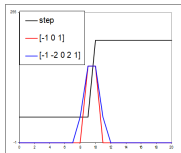
Gradient til kant-deteksjon

- Gradient-magnituden indikerer styrken av kanten i en piksel
- Kantene i gradient-magnituden blir typisk brede
 - Kan være uønsket
 - Bredden avhenger av størrelsen på filterne og bredden på kanten i bildet
- Mulige fremgangsmåter for å finne en eksakt, tynn kant:
 - Terskle gradient-magnitude og tynne den
 - Finne maksimum i gradient-magnitude (eller bruke andrederivert)



Gradient til kant-deteksjon

- Gradient-magnituden har bred respons, men vi ønsker gjerne en tynn, eksakt kant
- For en steg-kant: Bredden på responsen er avhengig av størrelsen på filteret
- For en bred kant(rampe): Bredden på responsen er avhengig av bredden på kanten
- Maskimum er likt og passende lokalisert!

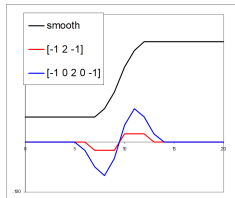


Laplace - operatoren

- Laplace-operatoren er gitt ved:

$$\nabla^2 f = \frac{\partial^2 f}{\partial x^2} + \frac{\partial^2 f}{\partial y^2}$$

- Den endrer fortegn der f er et vendepunkt
- $\nabla^2 f = 0$ markerer kant-posisjon
- $|\nabla^2 f|$ har to ekstremverdier pr kant; på starten og på slutten av kanten \rightarrow var dette vi brukte tidligere til å forbedre bildeskarpheit!
- **Nullgjennomgang:** Kantens eksakte posisjon
- Finner kant-posisjoner, men ikke retninger



- I 1D er $\nabla^2 f$ ekvivalent med den andrederiverte
- Sentrert om indeks i
- Bytter fortegn av konvensjon
- Får at $-\nabla^2 f = -(f[i-1] - 2f[i] + f[i+1]))$

Kontinuerlig

$$f(x)$$

$$f'(x)$$

$$f''(x)$$

Digitalt

$$f[i]$$

$$f[i+1] - f[i]$$

$$\begin{aligned} f'[i+1] - f'[i] &= \\ (f[i+2] - f[i+1]) - & \\ (f[i+1] - f[i]) &= \\ f[i+2] - 2f[i+1] + f[i] & \end{aligned}$$

- Anvend 1D-Laplace operatoren i begge retninger og summér:

$$\begin{aligned} -\nabla^2 f &= -\frac{\partial^2 f}{\partial x^2} - \frac{\partial^2 f}{\partial y^2} \\ &\approx -f(i-1, j) + 2f(i, j) - f(i+1, j) - \\ &\quad f(i, j-1) + 2f(i, j) - f(i, j+1) \end{aligned}$$

- Dette kan beregnes ved å konvolvare f med:

$$\begin{pmatrix} 0 & -1 & 0 \\ -1 & 4 & -1 \\ 0 & -1 & 0 \end{pmatrix}$$

- Hvis vi i tillegg anvender 1D-Laplace tilnærmingen langs begge diagonaler, får vi det som kan beregnes ved:

$$\begin{pmatrix} -1 & -1 & -1 \\ -1 & 8 & -1 \\ -1 & -1 & -1 \end{pmatrix}$$

- Dette er filteret vi brukte til:
 - Punkt-deteksjon
 - Øke bildeskarpheiten

Laplace på andregradspolynom

- La de lokale intensitetene rundt (x, y) være modellert ved andregradspolynomet:

$$f(m, n) = k_1 + k_2 m + k_3 n + k_4 m^2 + k_5 mn + k_6 n^2$$

der (m, n) er koordinater relativt til (x, y) .

- I et 3×3 -naboskap rundt (x, y) har vi intensitetene:

$k_1 - k_2 - k_3 + k_4 + k_5 + k_6$	$k_1 - k_2 + k_4$	$k_1 - k_2 + k_3 + k_4 - k_5 + k_6$
$k_1 - k_3 + k_6$	k_1	$k_1 + k_3 + k_6$
$k_1 + k_2 - k_3 + k_4 - k_5 + k_6$	$k_1 + k_2 + k_4$	$k_1 + k_2 + k_3 + k_4 + k_5 + k_6$

- Den korrekte Laplace-verdien her blir:

$$-\nabla^2 f(x, y) = -\left(\frac{\partial^2 f}{\partial x^2} + \frac{\partial^2 f}{\partial y^2}\right) = -2(k_4 + k_6)$$

- Både 4-nabo og 8-nabo Laplace-operatoren gir korrekt estimat:

$$\begin{pmatrix} 0 & -1 & 0 \\ -1 & 4 & -1 \\ 0 & -1 & 0 \end{pmatrix} \quad \frac{1}{3} \begin{pmatrix} -1 & -1 & -1 \\ -1 & 8 & -1 \\ -1 & -1 & -1 \end{pmatrix}$$

Sobel vs. Laplace

- Sobel-filtrering: bred kant

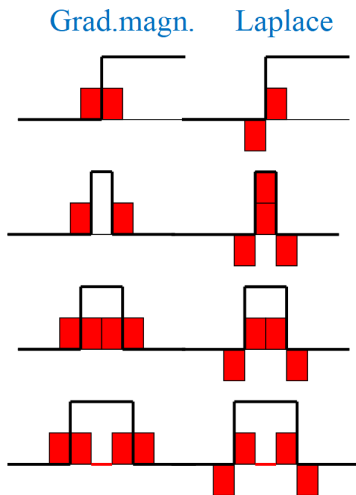


- Laplace-filtrering: dobbel kant



Steg-kanter og steg-kantede linjer

- Merk:
 - Grad.-magn. bruker symmetrisk 1D-operator:
 $f[i + 1] - f[i - 1]$
 - "Laplace" her er Laplace 1D-operator:
 $-f[i - 1] + 2f[i] - f[i + 1]$
- For steg-kanter:
 - Grad.-magn. gir samme respons i første piksel utenfor og første piksel innenfor kanten
 - Laplace gir responser med motsatt fortegn, og riktig kant i nullgjennomgang
- På tvers av en linje (med to steg-kanter):
 - Én piksels linje gir respons på hver side av linja med gradientmagnituden → ingen respons
 - Laplace gir riktige kanter i nullgjennomgangene



Andre Laplace-operatorer

- Kan bl.a. finnes ved å bruke gradient-operatorer
- Eksempel på bruk av 3×3 Sobel-operatoren:

$$\begin{aligned} -\nabla_{5 \times 5}^2 &= - \left(\begin{pmatrix} 1 & 2 & 1 \\ 0 & 0 & 0 \\ -1 & -2 & -1 \end{pmatrix} * \begin{pmatrix} 1 & 2 & 1 \\ 0 & 0 & 0 \\ -1 & -2 & -1 \end{pmatrix} + \begin{pmatrix} 1 & 0 & -1 \\ 2 & 0 & -2 \\ 1 & 0 & -1 \end{pmatrix} * \begin{pmatrix} 1 & 0 & -1 \\ 2 & 0 & -2 \\ 1 & 0 & -1 \end{pmatrix} \right) \\ &= - \left(\begin{pmatrix} 1 & 4 & 6 & 4 & 1 \\ 0 & 0 & 0 & 0 & 0 \\ -2 & -8 & -12 & -8 & -2 \\ 0 & 0 & 0 & 0 & 0 \\ 1 & 4 & 6 & 4 & 1 \end{pmatrix} + \begin{pmatrix} 1 & 0 & -2 & 0 & 1 \\ 4 & 0 & -8 & 0 & 4 \\ 6 & 0 & -12 & 0 & 6 \\ 4 & 0 & -8 & 0 & 4 \\ 1 & 0 & -2 & 0 & 1 \end{pmatrix} \right) \\ &= \begin{pmatrix} -2 & -4 & -4 & -4 & -2 \\ -4 & 0 & 8 & 0 & -4 \\ -4 & 8 & 24 & 8 & -4 \\ -4 & 0 & 8 & 0 & -4 \\ -2 & -4 & -4 & -4 & -2 \end{pmatrix} \end{aligned}$$

Implementasjon av Laplace-operatorer

- Generelt ikke separable
- Flere Laplace-operatorer kan likevel deles opp i 1D-operasjoner
- F.eks er Laplace-operatoren fra forrige slide ikke separabel, men kan deles opp i 1D-operasjonene

$$\begin{pmatrix} 1 & 4 & 6 & 4 & 1 \end{pmatrix} * \begin{pmatrix} 1 & 0 & 2 & 0 & 1 \end{pmatrix}^T + \begin{pmatrix} 1 & 0 & 2 & 0 & 1 \end{pmatrix} * \begin{pmatrix} 1 & 4 & 6 & 4 & 1 \end{pmatrix}^T$$

Krever da 37 operasjoner istedenfor 49

Effekt av støy på kant-deteksjon

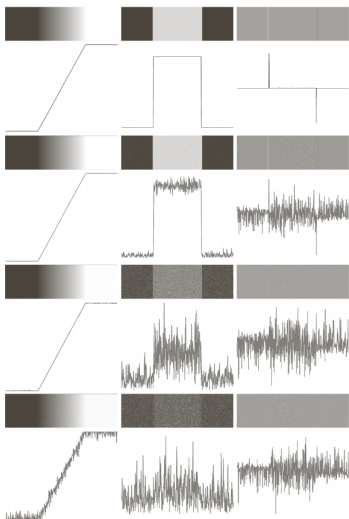


FIGURE 10.11 First column: Images and intensity profiles of a ramp edge corrupted by random Gaussian noise of zero mean and standard deviations of 0.0, 0.1, 1.0, and 10.0 intensity levels, respectively. Second column: First-derivative images and intensity profiles. Third column: Second-derivative images and intensity profiles.

- Vi gjorde gradient-operatorene støy-robuste ved å bygge inn lavpassfiltrering

$$h_x = \begin{pmatrix} 1 & 2 & 1 \\ 0 & 0 & 0 \\ -1 & -2 & -1 \end{pmatrix} = \begin{pmatrix} 1 \\ 0 \\ -1 \end{pmatrix} * (1 \ 2 \ 1) \quad h_y = \begin{pmatrix} 1 & 0 & -1 \\ 2 & 0 & -2 \\ 1 & 0 & -1 \end{pmatrix} = (1 \ 0 \ -1) * \begin{pmatrix} 1 \\ 2 \\ 1 \end{pmatrix}$$

- Kan gjøre det samme med Laplace-operator!
- Vanlig å bygge inn et Gauss-filter G med gitt σ :

$$h_{\text{LoG}} = -\nabla^2 * G,$$

som gir oss **Laplacian-of-Gaussian**-operatoren (LoG)!

En 7×7 LoG-operator

Konvolverer vi 3×3 -Gauss tilnærmingen (uten skalering med $\frac{1}{16}$),

$$G_{3 \times 3} = \begin{pmatrix} 1 & 2 & 1 \end{pmatrix} * \begin{pmatrix} 1 \\ 2 \\ 1 \end{pmatrix},$$

med Laplace-operatoren vi fikk ved å bruke 3×3 Sobel-operatoren

$$-\nabla_{5 \times 5}^2 = (1 \ 4 \ 6 \ 4 \ 1) * (-1 \ 0 \ 2 \ 0 \ -1)^T + (-1 \ 0 \ 2 \ 0 \ -1) * (1 \ 4 \ 6 \ 4 \ 1)^T$$

for å få følgende 7×7 -LoG - operator:

$$h_{\text{LoG}} = -\nabla_{5 \times 5}^2 * G_{3 \times 3} = \begin{pmatrix} -2 & -8 & -14 & -16 & -14 & -8 & -2 \\ -8 & -24 & -24 & -16 & -24 & -24 & -8 \\ -14 & -24 & 30 & 80 & 30 & -24 & -14 \\ -16 & -16 & 80 & 160 & 80 & -16 & -16 \\ -14 & -24 & 30 & 80 & 30 & -24 & -14 \\ -8 & -24 & -24 & -16 & -24 & -24 & -8 \\ -2 & -8 & -14 & -16 & -14 & -8 & -2 \end{pmatrix}$$

To måter å lage LoG - operatører

To mulige måter å lage en LoG-operator på:

- Som konvolusjonen av en Laplace-operator og et Gauss-filter
- Som en sampling av LoG funksjonen, som er resultatet av å anvende Laplace-operatoren på Gauss-funksjonen i det kontinuerlige domenet

Disse fremgangsmåtene gir generelt ikke helt like filtre, men begge resulterer i filtre vi kan kalle for LoG-operatorer

Utledning av LoG-funksjonen

1. 2D-Gauss funksjon:

$$G(x, y) = \frac{1}{2\pi\sigma^2} \exp\left(-\frac{(x^2 + y^2)}{2\sigma^2}\right)$$

2. Derivasjon mhp x :

$$\frac{\partial G(x, y)}{\partial x} = -\frac{x}{2\pi\sigma^4} \exp\left(-\frac{(x^2 + y^2)}{2\sigma^2}\right)$$

3. Derivasjon mhp y :

$$\frac{\partial G(x, y)}{\partial y} = -\frac{y}{2\pi\sigma^4} \exp\left(-\frac{(x^2 + y^2)}{2\sigma^2}\right)$$

4. Andrederivert mhp x :

$$\begin{aligned} \frac{\partial^2 G(x, y)}{\partial x^2} &= \\ &= -\frac{1}{2\pi\sigma^4} \left(1 - \frac{x^2}{\sigma^2}\right) \exp\left(-\frac{(x^2 + y^2)}{2\sigma^2}\right) \end{aligned}$$

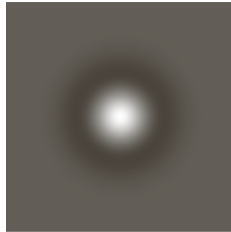
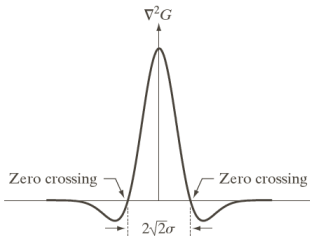
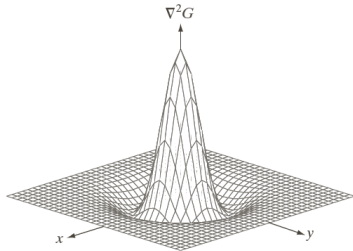
5. Derivasjon mhp y :

$$\begin{aligned} \frac{\partial^2 G(x, y)}{\partial y^2} &= \\ &= -\frac{1}{2\pi\sigma^4} \left(1 - \frac{y^2}{\sigma^2}\right) \exp\left(-\frac{(x^2 + y^2)}{2\sigma^2}\right) \end{aligned}$$

6. Laplace er summen av disse:

$$\begin{aligned} -\nabla^2 G(x, y) &= \\ &= \frac{1}{2\pi\sigma^4} \left(2 - \frac{x^2 + y^2}{\sigma^2}\right) \exp\left(-\frac{(x^2 + y^2)}{2\sigma^2}\right) \end{aligned}$$

LoG-funksjonen



0	0	-1	0	0
0	-1	-2	-1	0
-1	-2	16	-2	-1
0	-1	-2	-1	0
0	0	-1	0	0

a b
c d

FIGURE 10.21

(a) Three-dimensional plot of the *negative* of the LoG. (b) Negative of the LoG displayed as an image. (c) Cross section of (a) showing zero crossings. (d) 5×5 mask approximation to the shape in (a). The negative of this mask would be used in practice.

- Får en LoG-operator ved å sample en variant av LoG-funksjonen for heltallige x og y :

$$-\nabla^2 G(x, y) = \frac{1}{2\pi\sigma^4} \left(2 - \frac{x^2 + y^2}{\sigma^2} \right) \exp \left(-\frac{(x^2 + y^2)}{2\sigma^2} \right),$$

der σ er standardavviket til Gauss'en og en verdi man gir som parameter

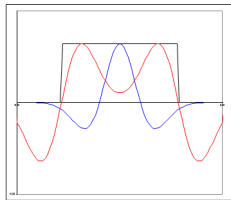
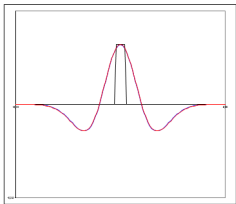
- I de fleste tilfeller er størrelsen av operatoren lik ca. 8.5σ
 - LoG-funksjonen er omtrent lik 0 utenfor dette området
 - Positive toppen til LoG-funksjonen kalles *kjernen* og $2\sqrt{2}\sigma$ er bredden av denne

- Laplace-operator detekterer kanter, men er følsomme for støy
- Ofte må man lavpassfiltrere før Laplace-filtrering
- En LoG-operator gjør begge operasjoner i ett
- Fungerer ellers som en Laplace-operator:
 - I homogene områder vil en LoG - operator gi respons i 0
 - Den vil ha positiv respons på den ene siden av kanten, ideelt sett 0 i kantskillet og har negativ respons på den andre siden
 - **Nullgjennomganger angir kanter**
- LoG-operatorer med varierende σ fungerer også godt som "blob"-detektorer

Kantdeteksjon ved LoG-nullgjennomganger

Tommelfinger-regel for deteksjon av strukturer: *LoG-kjernen må være smalere enn strukturen*

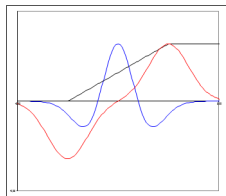
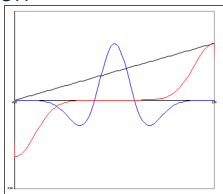
- Hvis strukturen er mindre enn halvparten av LoG-kjernen: nullgjennomgangene vil havne utenfor kantskillene
- Hvis strukturen er større enn halvparten av LoG-filteret: nullgjennomgangene er nøyaktig lik kantskillene
- Et sted imellom: Avhenger av diskretiseringen og tilnærmingen av LoG-filteret



Kantdeteksjon ved LoG-nullgjennomganger

Tommelfinger-regel for deteksjon av ramper: LoG-filteret må være større enn rampen

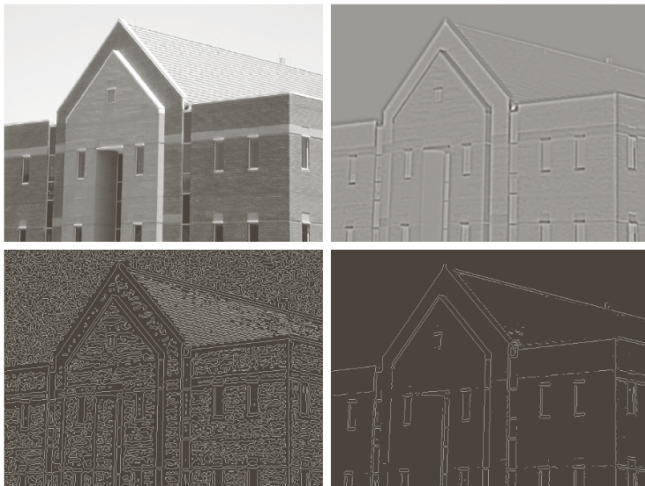
- Rampen er bredere enn LoG-filteret: Ingen nullgjennomgang
- Ellers, vil nullgjennomgangen være midt på rampen
- På grunn av støy, må LoG-filteret være betydelig større enn rampen



Velg kjerne- og filterstørrelse med omhu! Angis av standardavviket til Gauss-funksjonen, som gir bredden av LoG-kjernen og antyder størrelsen på LoG filteret

Eksempel: LoG-kantdeteksjon

Finne fremtredende kanter:



a	b
c	d

FIGURE 10.22

(a) Original image of size 834×1114 pixels, with intensity values scaled to the range $[0, 1]$. (b) Results of Steps 1 and 2 of the Marr-Hildreth algorithm using $\sigma = 4$ and $n = 25$. (c) Zero crossings of (b) using a threshold of 0 (note the closed-loop edges). (d) Zero crossings found using a threshold equal to 4% of the maximum value of the image in (b). Note the thin edges.

Vanligvis tre steg i robust kantdetektor:

1. **Støy-reduksjon:** Forsøker å fjerne så mye støy som mulig uten å glatte ut kantene for mye (lavpassfiltrering)
2. **Kant-filtrering:** Finner kantene (høypassfiltrering)
3. **Kant-lokalisering:** Etterbehandler resultatet fra kant-filtreringen for å finne eksakt kant-posisjoner (respons på kant bør helst være én piksel tykk og lokalisert der kanten faktisk befinner seg i innbildet)

Hva kjennetegner en god kantdetektor?

- Finner alle og bare de relevante kantene
- Posisjonen til detektert kant samsvarer med der kanten finnes i innbildet
- En kant gir én enkelt respons
- Robust for støy (kompromiss mellom støy-robusthet og kant-lokalisering)

- Lag en kantdetektor som er optimal i forhold til følgende tre kriterier:
 - Best mulig deteksjon (finne alle kanter, og kun kanter)
 - God kant-lokalisering
 - Én enkelt respons
- Optimér ved bruk av et bilde med støy

Cannys algoritme

1. Lavpassfiltrér med 2D Gauss-filter med en bruker-bestemt σ
2. Finn gradient-magnituden og gradient-retningen
3. Tynning av gradient-magnitudo ortogonalt på kant
 - Hvis en piksel i gradient-magnitudo bildet har en 8-nabo i eller mot gradient-retningen med høyere verdi, settes pikselverdien til 0
4. Hysteresse-terskling med to bruker-bestemte terskler T_h og T_l :
 - 4.1 Merk alle piksler der $g(x, y) \geq T_h$
 - 4.2 For alle piksler der $g(x, y) \in [T_l, T_h)$:

Hvis pikselen er (4 eller 8)-nabo til en merket piksel, så merkes denne pikselen også
 - 4.3 Gjenta trinnet over frem til det ikke merkes noen piksler

Eksempel: Kantdeteksjon 1

Finn fremtredende kanter:

Innbildet



Tersklet grad.-magn.



LoG-kantdetektor



Cannys kantdetektor

a b
c d

FIGURE 10.25

(a) Original image of size 834×1114 pixels, with intensity values scaled to the range $[0, 1]$.

(b) Thresholded gradient of smoothed image.

(c) Image obtained using the Marr-Hildreth algorithm.

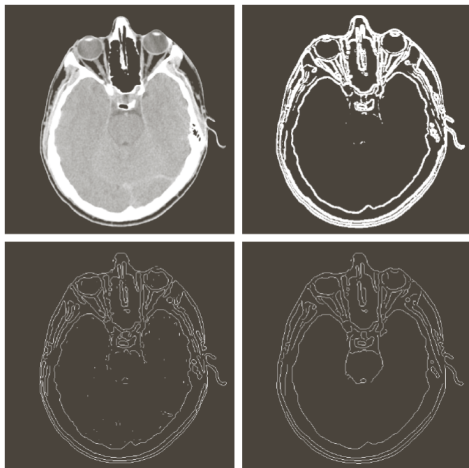
(d) Image obtained using the Canny algorithm.

Note the significant improvement of the Canny image compared to the other two.

Eksempel: Kantdeteksjon 2

Innbildet

Tersklet grad.-magn.



LoG-kantdetektor Canny's kantdetektor

- Noen kant-deteksjons operatører
- Gradient-operatøren glatter i den ene retningen og gjør kantdeteksjon i den ortogonale retninger
- Gradient-operatører gir både kant-styrke og -retning
- Laplace - operatører gir presis lokalisering av kanten, men forsterker støy
- LoG - operatøren er en mer robust versjon av Laplace som inkluderer Gauss-glatting (kjernens og filterets størrelse påvirker resultatet!)
- Canny's kantdetektor gir et godt kompromiss mellom støyreduksjon og kantlokalisering